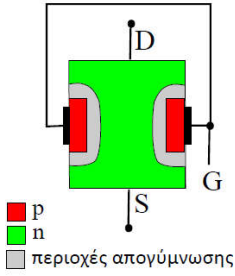
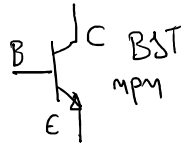


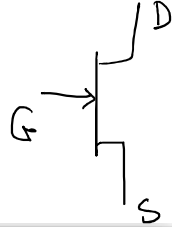
ΔFET τύπου M



Bipolar Transistor (BJT)	Field Effect Transistor (FET)
Emitter - (E) >>	Source - (S)
Base - (B) >>	Gate - (G)
Collector - (C) >>	Drain - (D)



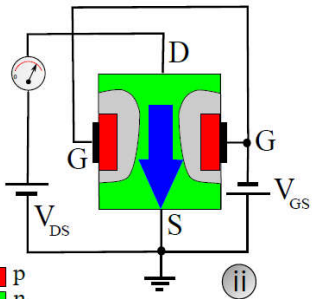
D: Drain, S: Source, G: Gate
ΗΜΕΤΡΙΚΟ ΑΝΑΛΟΓΟ



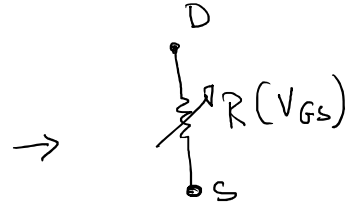
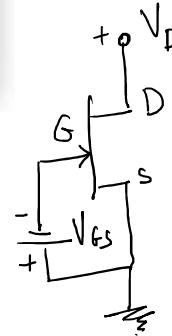
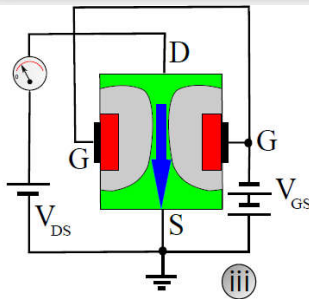
n-channel



ΗΜΕΤΡΙΚΟ ΑΝΑΛΟΓΟ



P
n
περιοχές απογύμνωσης

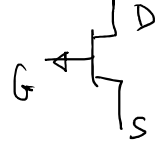
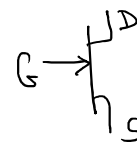


Αν αυξάνει αρκετά η V_{GS}
τότε $I_D = \phi$

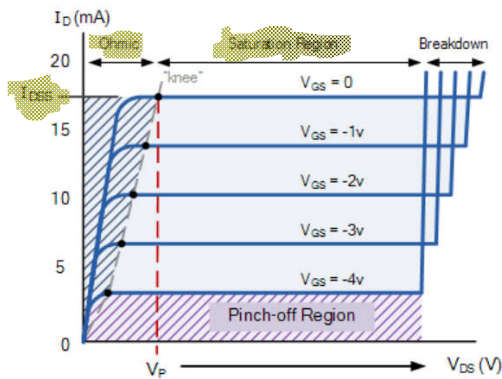
Το κατ'όφνη ονομάζεται $V_{GS(off)}$

ΑΙΞΑΝΕΤΑΙ ΤΟ $V_{GS} \rightarrow$ ΜΕΙΩΝΕΤΑΙ ΤΟ ΡΕΥΜΑ I_D

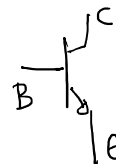
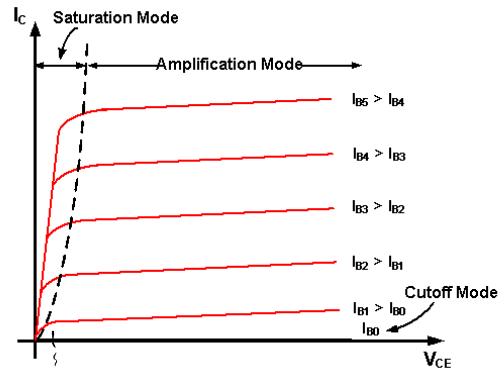
N-CHANNEL ΔFET P-CHANNEL



ΧΑΡΑΚΤΗΡΙΣΤΙΚΗ (I_D, V_{DS}) ΔFET n-CHANNEL



ΧΑΡΑΚΤΗΡΙΣΤΙΚΗ (I_C, V_{CE}) BJT MPM



2N5457, 2N5458



JFETs - General Purpose

N-Channel – Depletion

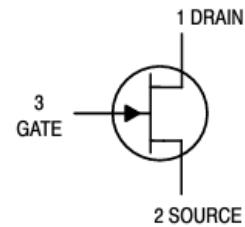
N-Channel Junction Field Effect Transistors, depletion mode (Type A) designed for audio and switching applications.

ON Semiconductor®

<http://onsemi.com>

Features

- N-Channel for Higher Gain
- Drain and Source Interchangeable
- High AC Input Impedance
- High DC Input Resistance
- Low Transfer and Input Capacitance
- Low Cross-Modulation and Intermodulation Distortion



MAXIMUM RATINGS

Rating	Symbol	Value	Unit
Drain-Source Voltage	V_{DS}	25	Vdc
Drain-Gate Voltage	V_{DG}	25	Vdc
Reverse Gate-Source Voltage	V_{GSR}	-25	Vdc
Gate Current	I_G	10	mAdc
Total Device Dissipation @ $T_A = 25^\circ\text{C}$ Derate above 25°C	P_D	310 2.82	mW mW/ $^\circ\text{C}$
Operating Junction Temperature	T_J	135	$^\circ\text{C}$
Storage Temperature Range	T_{stg}	-65 to +150	$^\circ\text{C}$

ELECTRICAL CHARACTERISTICS ($T_A = 25^\circ\text{C}$ unless otherwise noted)

Characteristic		Symbol	Min	Typ	Max	Unit
OFF CHARACTERISTICS						
Gate-Source Breakdown Voltage ($I_G = -10 \mu\text{Adc}$, $V_{DS} = 0$)		$V_{(BR)GSS}$	-25	-	-	Vdc
Gate Reverse Current ($V_{GS} = -15 \text{Vdc}$, $V_{DS} = 0$) ($V_{GS} = -15 \text{Vdc}$, $V_{DS} = 0$, $T_A = 100^\circ\text{C}$)		I_{GSS}	-	-	-1.0 -200	nAdc
Gate-Source Cutoff Voltage ($V_{DS} = 15 \text{Vdc}$, $i_D = 10 \text{nAdc}$)	2N5457 2N5458	$V_{GS(off)}$	-0.5 -1.0	-	-6.0 -7.0	Vdc
Gate-Source Voltage ($V_{DS} = 15 \text{Vdc}$, $i_D = 100 \mu\text{Adc}$) ($V_{DS} = 15 \text{Vdc}$, $i_D = 200 \mu\text{Adc}$)	2N5457 2N5458	V_{GS}	-	-2.5 -3.5	-	Vdc
ON CHARACTERISTICS						
Zero-Gate-Voltage Drain Current (Note 1) ($V_{DS} = 15 \text{Vdc}$, $V_{GS} = 0$)	2N5457 2N5458	I_{DSS}	1.0 2.0	3.0 6.0	5.0 9.0	mAdc
DYNAMIC CHARACTERISTICS						
Forward Transfer Admittance (Note 1) ($V_{DS} = 15 \text{Vdc}$, $V_{GS} = 0$, $f = 1 \text{kHz}$)	2N5457 2N5458	$ Y_{fs} $	1000 1500	3000 4000	5000 5500	μmhos
Output Admittance Common Source (Note 1) ($V_{DS} = 15 \text{Vdc}$, $V_{GS} = 0$, $f = 1 \text{kHz}$)		$ Y_{os} $	-	10	50	μmhos
Input Capacitance ($V_{DS} = 15 \text{Vdc}$, $V_{GS} = 0$, $f = 1 \text{kHz}$)		C_{iss}	-	4.5	7.0	pF
Reverse Transfer Capacitance ($V_{DS} = 15 \text{Vdc}$, $V_{GS} = 0$, $f = 1 \text{kHz}$)		C_{rss}	-	1.5	3.0	pF

1. Pulse Width $\leq 630 \text{ms}$, Duty Cycle $\leq 10\%$.

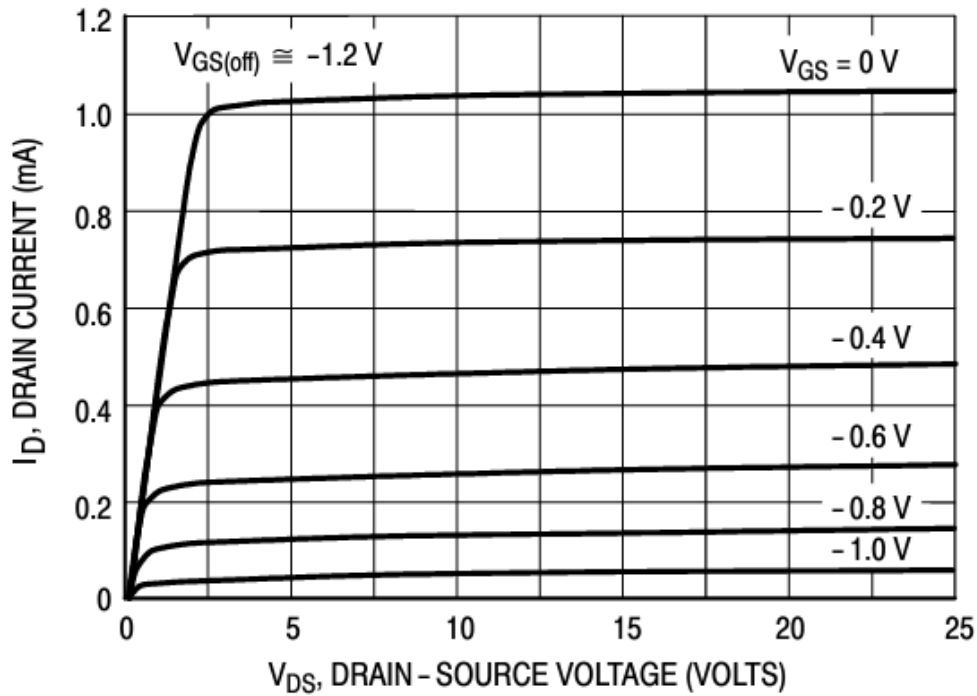
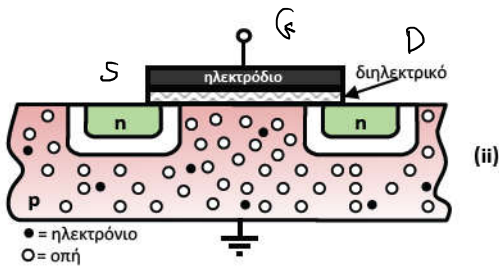
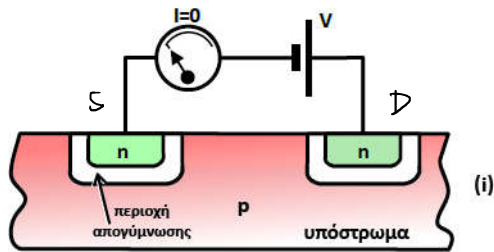
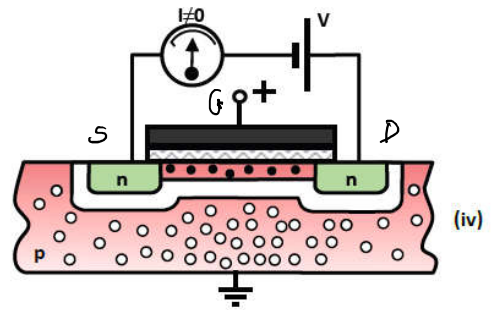
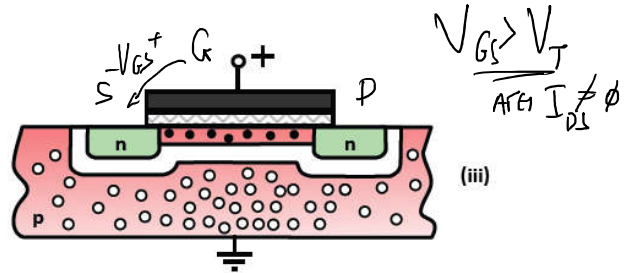


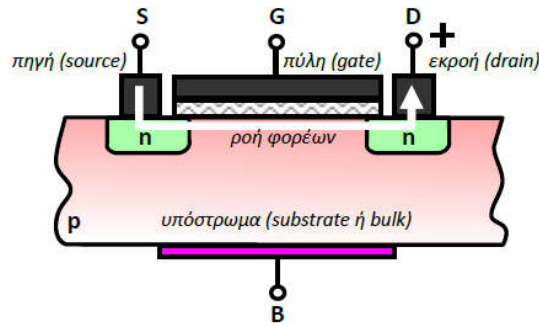
Figure 2. Typical Drain Characteristics

MOS-FET ΕΠΙΡΡΕΤΗΣ / ΠΡΟΒΑΥΣΗΤΗΣ ΚΑΝΑΛΙΟΥ
 ENHANCEMENT MOSFET

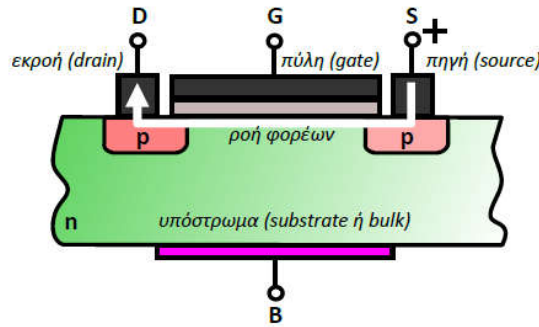


η-MOS



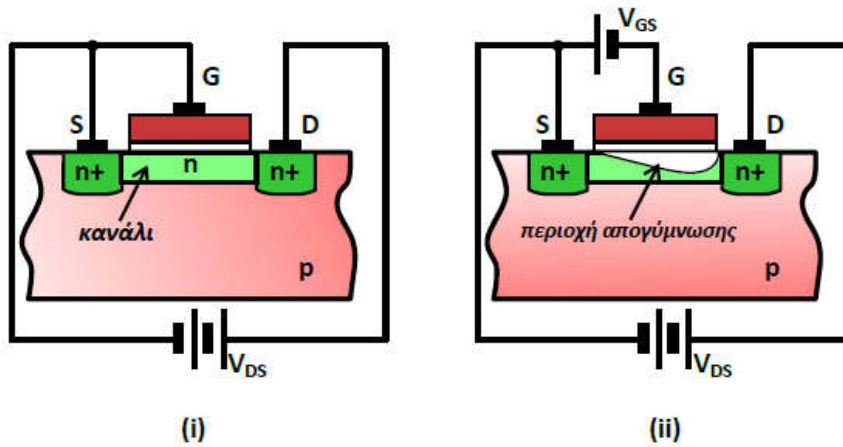


Σχήμα 4.5 Τρανζίστορ nMOS: Δομή, ακροδέκτες, συμβολισμοί

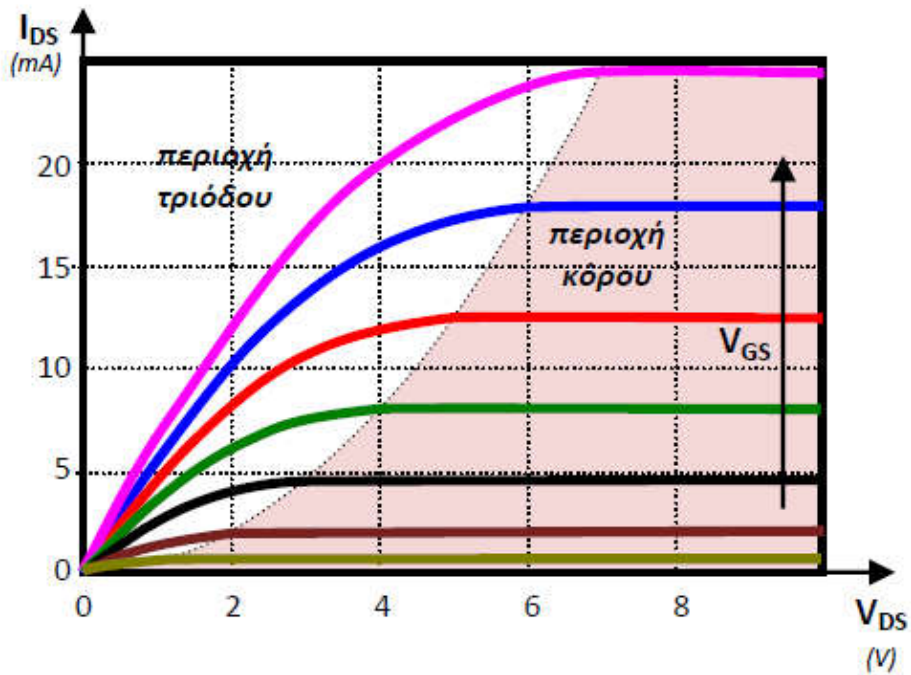
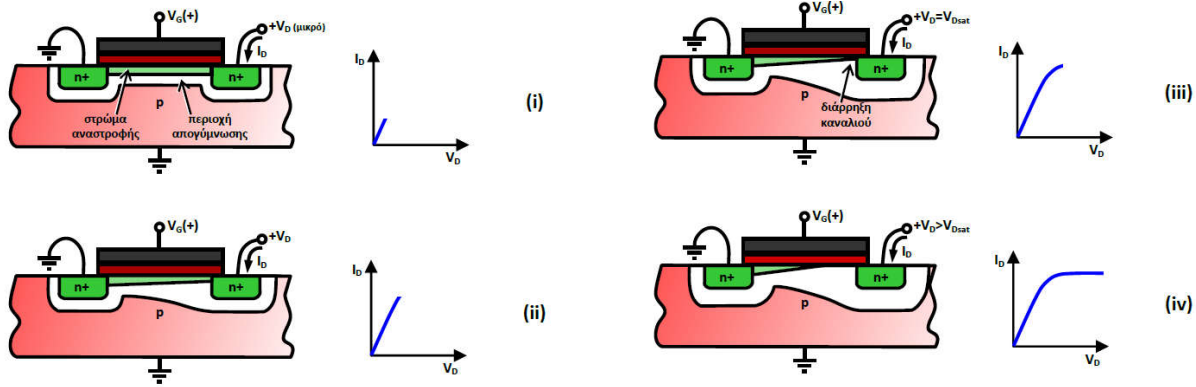


Σχήμα 4.6 Τρανζίστορ pMOS: Δομή, ακροδέκτες, συμβολισμοί

ΔΙΑΦΟΡΕΤΙΚΟΣ ΤΥΠΟΣ ΜΟΣFET ΑΠΟΓΥΜΝΩΣΗΣ ΚΑΝΑΛΙΟΥ
DEPLETION ΜΟΣFET



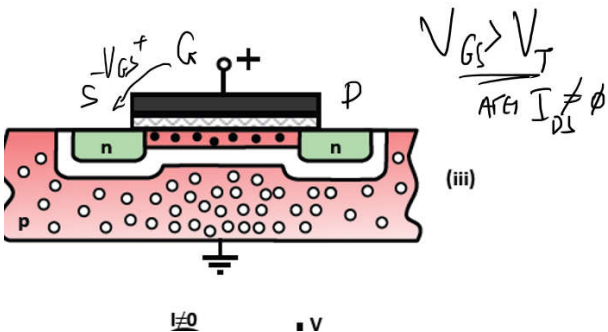
ΧΑΡΑΚΤΗΡΙΣΤΙΚΗ (I_D, V_D)



Πίνακας 4.1 Μαθηματικές εκφράσεις για το τρανζίστορ nMOS

ΠΕΡΙΟΧΗ ΛΕΙΤΟΥΡΓΙΑΣ	ΣΥΝΘΗΚΕΣ	ΡΕΥΜΑ ΚΑΝΑΛΙΟΥ (I_{DS})
Αποκοπής	$V_{GS} < V_T$	0
Τριόδου	$V_{DS} < V_{GS} - V_T, V_{GS} > V_T$	$K_n [2(V_{GS} - V_T)V_{DS} - V_{DS}^2]$
Κόρου	$V_{DS} > V_{GS} - V_T, V_{GS} > V_T$	$K_n (V_{GS} - V_T)^2$

όπου: $K_n = \frac{1}{2} \cdot \frac{\mu_n \epsilon}{t_{ox}} \cdot \frac{W}{L}$



ΠΑΡΑΤΗΡΗΣΕΙΣ: 1. ΠΕΡΙΟΧΗ ΤΡΙΟΔΟΥ: I_{DS} ΓΡΑΜΜΙΚΟ ΘΕ ΠΡΟΣ V_{GS} ☺

ΠΑΡΑΤΗΡΗΣΕΙΣ : 1. ΠΕΡΙΟΧΗ ΤΡΙΟΔΟΥ : I_{DS} ΓΡΑΜΜΙΚΟ ΦΕ ΠΡΟΣ V_{GS} ☺

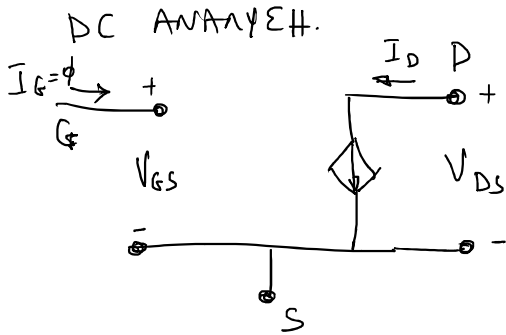
$$I_{DS} = (2 k_M V_{DS}) V_{GS} + Q$$

2. ΠΕΡΙΟΧΗ ΚΟΡΟΥ I_{DS} ΜΗ ΓΡΑΜΜΙΚΟ ΦΕ ΠΡΟΣ V_{GS}

$$I_{DS} = k_M (V_{GS} - V_T)^2 = k_M V_{GS}^2 - (2 k_M V_T) V_{GS} + k_M V_T^2$$

ΗΛΕΚΤΡΙΚΑ ΙΣΧΥΝΑΜΑ ΓΙΑ NMOS

ΛΗΤΟΥΡΓΙΑ ΚΟΡΟΥ

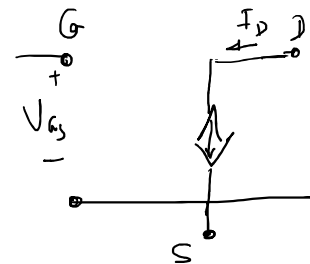


$$I_D = k_M (V_{GS} - V_T)^2$$

$$V_{GS} \geq V_T$$

$$V_{DS} \geq V_{GS} - V_T$$

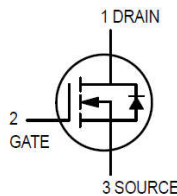
ΛΗΤΟΥΡΓΙΑ ΤΡΙΟΔΟΥ



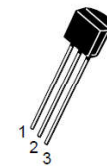
ΤΥΠΙΚΟ NMOS

TMOS FET Switching

N-Channel — Enhancement



BS170

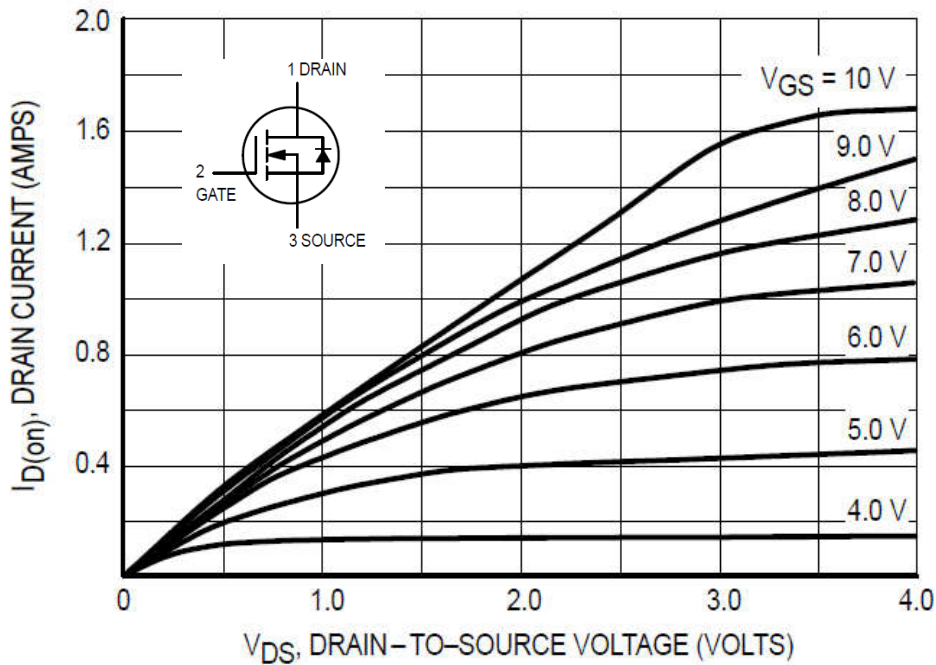
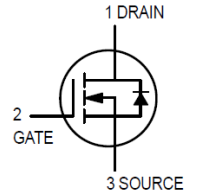


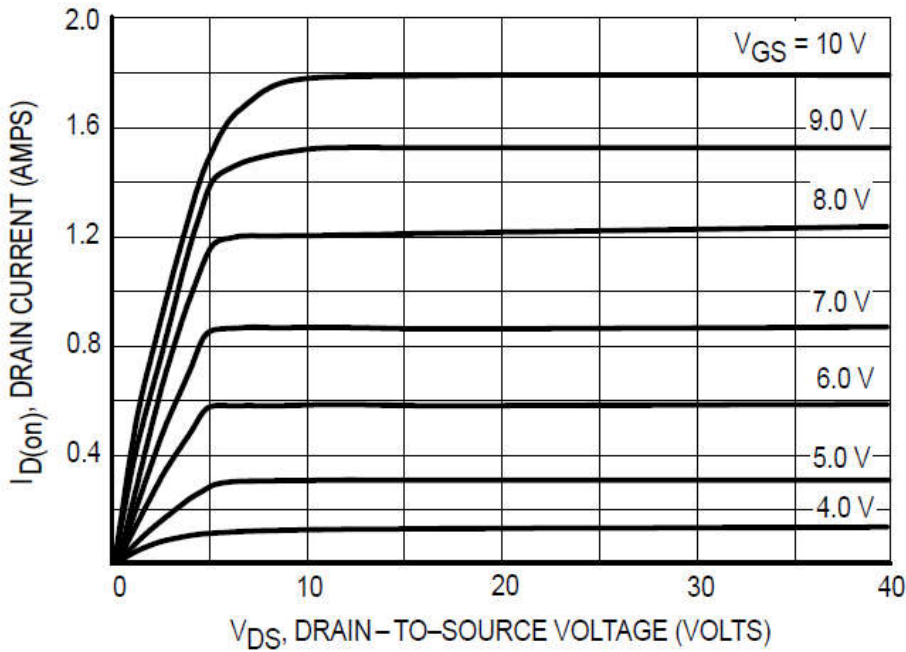
CASE 29-04, STYLE 30
TO-92 (TO-226AA)

MAXIMUM RATINGS

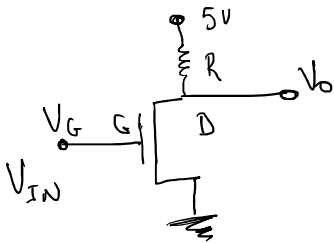
Rating	Symbol	Value	Unit
Drain-Source Voltage	V_{DS}	60	Vdc
Gate-Source Voltage	V_{GS}	± 20	Vdc
— Continuous	V_{GS}	± 20	Vdc
— Non-repetitive ($t_p \leq 50 \mu s$)	V_{GSM}	± 40	Vpk
Drain Current ⁽¹⁾	I_D	0.5	Adc
Total Device Dissipation @ $T_A = 25^\circ C$	P_D	350	mW
Operating and Storage Junction Temperature Range	T_J, T_{stg}	-55 to +150	$^\circ C$

Characteristic	Symbol	Min	Typ	Max	Unit
OFF CHARACTERISTICS					
Gate Reverse Current ($V_{GS} = 15 \text{ Vdc}$, $V_{DS} = 0$)	I_{GSS}	—	0.01	10	nAdc
Drain-Source Breakdown Voltage ($V_{GS} = 0$, $I_D = 100 \mu\text{Adc}$)	$V_{(BR)DSS}$	60	90	—	Vdc
ON CHARACTERISTICS(2)					
Gate Threshold Voltage ($V_{DS} = V_{GS}$, $I_D = 1.0 \text{ mAdc}$)	$V_{GS(Th)}$	0.8	2.0	3.0	Vdc
Static Drain-Source On Resistance ($V_{GS} = 10 \text{ Vdc}$, $I_D = 200 \text{ mAdc}$)	$r_{DS(on)}$	—	1.8	5.0	Ω
Drain Cutoff Current ($V_{DS} = 25 \text{ Vdc}$, $V_{GS} = 0 \text{ Vdc}$)	$I_{D(off)}$	—	—	0.5	μA
Forward Transconductance ($V_{DS} = 10 \text{ Vdc}$, $I_D = 250 \text{ mAdc}$)	g_{fs}	—	200	—	mmhos
SMALL-SIGNAL CHARACTERISTICS					
Input Capacitance ($V_{DS} = 10 \text{ Vdc}$, $V_{GS} = 0$, $f = 1.0 \text{ MHz}$)	C_{iss}	—	—	60	pF
SWITCHING CHARACTERISTICS					
Turn-On Time ($I_D = 0.2 \text{ Adc}$) See Figure 1	t_{on}	—	4.0	10	ns
Turn-Off Time ($I_D = 0.2 \text{ Adc}$) See Figure 1	t_{off}	—	4.0	10	ns

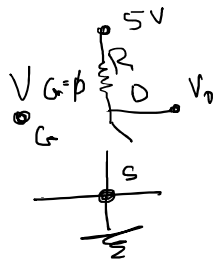




ΠΑΡΑΔΕΙΓΜΑΤΑ ΧΡΗΣΗΣ ΜΜΟΣ



ΑΝ $V_{IN} < V_T \Rightarrow V_O = 5V$



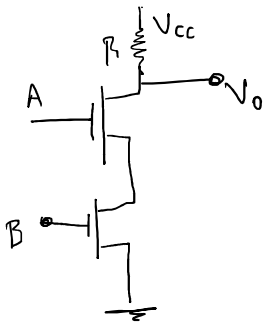
ΑΝ $V_{IN} > V_T \Rightarrow V_O = \frac{R_{DS} \cdot 5V}{R_{DS} + R}$
 $R_{DS} \ll R \Rightarrow V_O \approx \phi V$

Additional notes: $V_G = 5V$, $R = 1K$, $R_{DS(on)} \approx 2-10 \Omega$

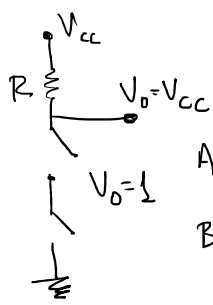
ΤΟ ΚΥΚΛΩΜΑ ΛΕΙΤΟΥΡΓΕΙ ΕΑΝ ΠΥΛΗ NOT

V_{IN}	V_O
(5V) ON	OFF (ϕV)
(ϕV) OFF	ON (5V)

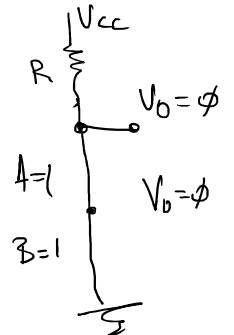
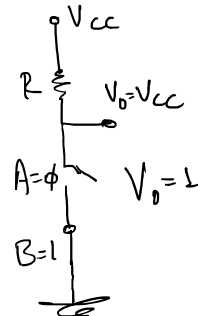
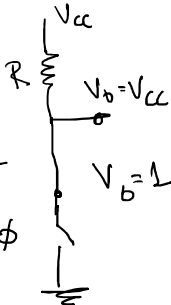
ΠΥΛΗ NAND



$A = \phi$
 $B = \phi$

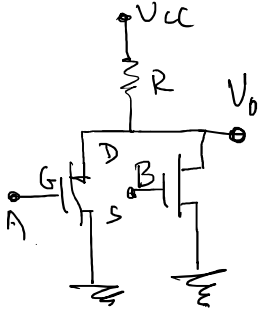


$A = 1$
 $B = \phi$

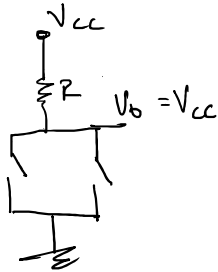


A	B	V_O
0	0	1
0	1	1
1	0	1
1	1	0

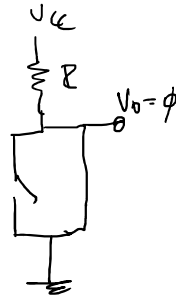
ΠΥΛΗ NOR



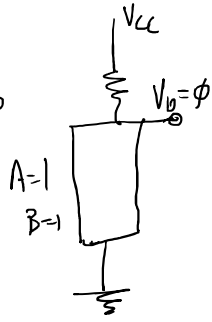
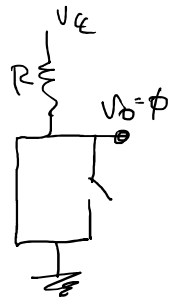
A = φ
B = φ



A = φ
B = 1



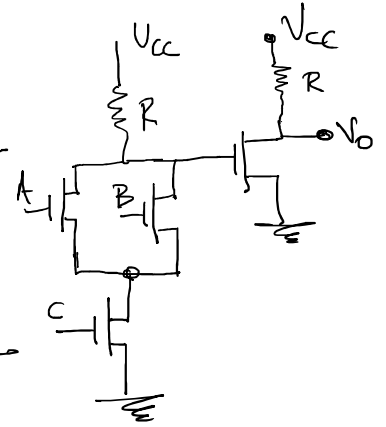
A = 1
B = φ



A	B	Vo
φ	φ	1
φ	1	φ
1	φ	φ
1	1	φ

ΠΙΝΑΚΑΣ ΕΙΣΟΔΟΥ/ΕΞΟΔΟΥ ΓΙΑ ΤΟ ΚΥΚΛΩΜΑ;

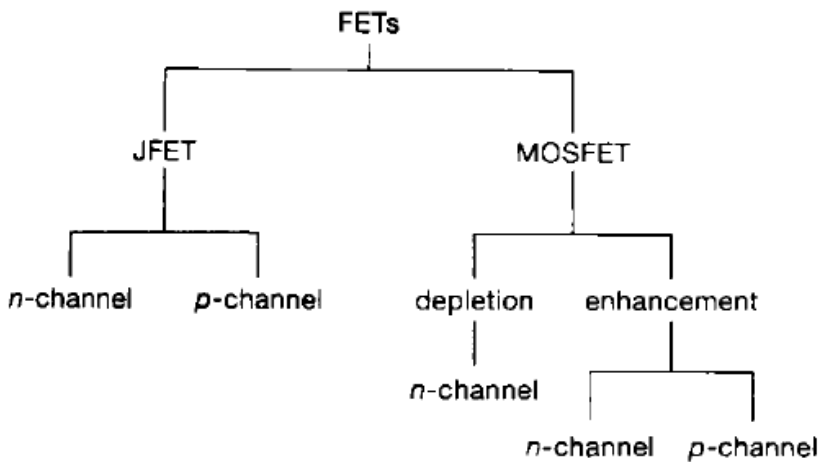
A	B	C	Vo
0	0	0	
0	0	1	
0	1	0	
1	0	0	
0	1	1	
1	0	1	
1	1	0	
1	1	1	



ΛΑΤΟΥΡΓΙΑ ΜΜΟΣ ΕΤΗΝ ΠΕΡΙΟΧΗ ΤΡΙΟΔΟΥ

$$A_v \quad V_{DS} < V_{GS} - V_T \rightarrow I_D = \begin{cases} \frac{1}{R_{ON}} V_{DS} & , V_{GS} \geq V_T \\ \phi & , V_{GS} < V_T \end{cases}$$

ΓΙΑ $\begin{cases} \text{BS170} \\ \text{MMOS} \end{cases} R_{ON} \approx 25\Omega$
 $V_T \approx 2V$



↑ ΤΑ ΠΛΕΟΝ ΕΥΝΗΘΗ FET ΠΟΥ ΧΡΗΣΙΜΟΠΟΙΟΥΝΤΑΙ ΕΤΙΣ ΕΦΑΡΜΟΓΕΣ.